

III-230 膨張モルタルを用いたNATM模型実験

(株) 錬島組 正会員 大久保 常雄

1. まえがき

最近、我が国においてもNATM (New Austrian Tunnelling Method) の施工法が注目されている。この工法は従来の鋼支保工に代わりロックボルトと吹付けコンクリートを主支保とする工法であり、軟硬岩ばかりではなく膨張性地山、軟弱な地山に対しても優れた実績を残している。しかし実際の設計、施工においては多くの課題が残されており、特にロックボルトの支保効果については過去の施工実績などから経験的に判断されているのが現状であり、理論解析、模型実験、現場計測などにより研究が進められている段階である。

本論文はこのNATMにおけるロックボルトの支保効果を解明する目的で膨張モルタルを用いてトンネル内空を変形させ、この時のロックボルトの有無による変形性状を比較した模型実験の結果について報告する。

2. 実験方法

トンネル模型を図-1に示す。模型地山材料は膨張材(CSA 20#)を混入したベントナイトモルタルである。配合を表-1に示す。

膨張モルタルの自己膨張力を端部の鋼管で拘束することにより、外部から加力することなしにトンネル内空(Φ210 mm)を変形させる。この時の壁面のロックボルトの有無による変形性状の相違を比較する。

使用したロックボルトはΦ2.5 mmの黄銅製のネジ切りボルトであり、地山内への走行長は100 mmとした。実験はすべて同一配合で実施し、ボルトの打設密度を変化させた。ボルトの配置状況を表-2に示す。測定項目はトンネル内空変位(1/1000 mm変位計)、拘束鋼管の周方向歪(歪ゲージ)、膨張モルタルの自由膨張量(1/100 mmダイヤルゲージ)であり、計測はモルタル打設1日経過後から開始し4時間毎に自動計測した。材料強度はΦ100 h 200 mm供試体による一軸圧縮試験で確認した。実験終了後(7~8日、経過後)に地山ボルトの簡易引抜き試験を実施した。実験中は蔽K養生である。

3. 結果の検討

3-1. ボルトの有無による比較

図-2に自由膨張率 π_L (%)と内空変位 U_a (mm)の関係を示す。

この図から

(1) ボルトなしの場合、 $\pi_L \sim U_a$ の関係は直線的な変化を示すのに対して、ボルト有りの場合は放物線的な変化を示す。

例えば $\pi_L \geq 2.0\%$ 以上では

ボルトなしの場合 $U_a/\pi_L \div 0.38 \text{ mm}/(\%)$

ボルト有りの場合 $U_a/\pi_L \div 0.29 \text{ mm}/(\%)$

となっており、ボルトの有無により変形性状には明らかな差が見られる。しかし変形の初期においてはB-2(●印)を除き、 U_a の

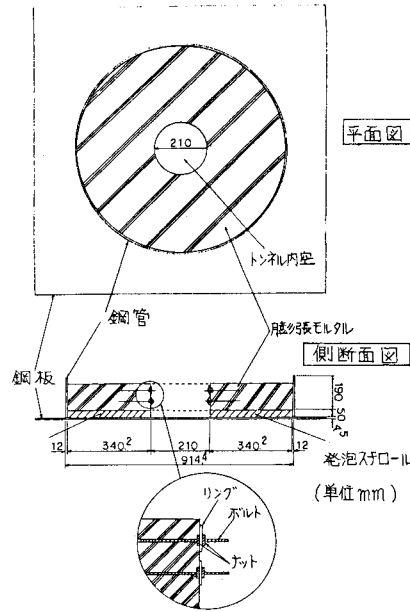


図-1 トンネル模型装置図

表-1 地山材料配合表

配合 (kg/m³)				
水	セメント	膨張材	砂	ペントナイト
475	164	70	1012	95

表-2 ボルト配置状況表

	周方向 角度(°)	軸方向 本数(本)	全本数 (本)	打設密度 (本/cm²)
B-1	30	3	36	1/22
B-2	20	4	72	1/11
B-3	25.7	4	56	1/14
B-4	15	4	96	1/8.6
B-5	20	4	72	1/11
N-1				
~N-5				0

大小には差があるもののボルトの有無による差は見られない。

- (2) $\gamma_L = 4.0\%$ の時の内空変位 U_a の発生量を比較してみる。
 $U_a \geq 1.6\text{ mm}$ 5例 ----ボルト有り 2例、なし 3例
 $U_a < 1.6\text{ mm}$ 4例 ----ボルト有り 2例、なし 2例
 という具合になりボルトの有無による U_a の発生量の大小には差が見られない。この理由としては、变形初期 ($\gamma_L = 1\%以下$) での U_a のばらつきが大きすぎるためにそれ以降での变形特性には差があるにも関わらず U_a の絶対値の比較が困難になっているものと考えられる。

そこで $\gamma_L = 1\%以下$ 以降の内空変位の増加量で比較してみる。図-3は $\gamma_L = 1\%以下$ の時の内空変位を 0としてそれ以降の増分を U_a^* (以下增加内空変位と呼ぶ) として整理したものである。この図によると

- (3) 増加内空変位 U_a^* はボルトにより制御されることがわかる。
 例えは $\gamma_L = 4\%$ の時の U_a^* を比較すると

$U_a^* \geq 1.0\text{ mm}$ 5例 ----ボルト有り 0例、なし 5例
 $U_a^* < 1.0\text{ mm}$ 4例 ----ボルト有り 4例、なし 0例

3-2 ボルト打設密度 n の差による比較

図-4にボルト打設密度 n ($\text{本}/\text{cm}^2$) の差による変位の比較を示す。(a)は $\gamma_L \leq 2.0\% (%)$ 以下の変位増分 U_a/γ_L , (b)は $\gamma_L = 4\%$ の時の内空変位 U_a , (c)は同じく $\gamma_L = 4\%$ の時の増加内空変位 U_a^* を示したものである。これらの図から

- (4) 変位増分 U_a/γ_L , 増加内空変位 U_a^* に関してはボルトの有無による差は見られるもののボルト打設密度 n の差による相互の差は明確でない。内空変位 U_a についても同様である。
 (5) 実験終了後の模型地山のボルトの簡易引抜き試験によると、ボルト打設密度 n が大きくなるとボルトの引抜き耐力が増大する傾向が確認された。

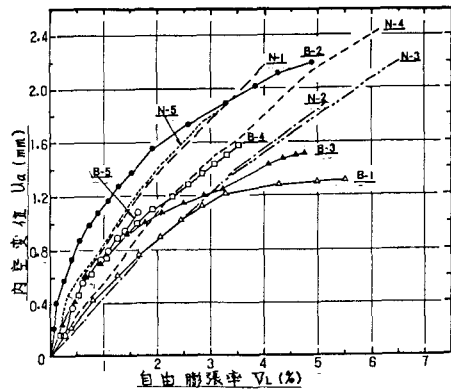


図-2 $\gamma_L \sim U_a$ の関係

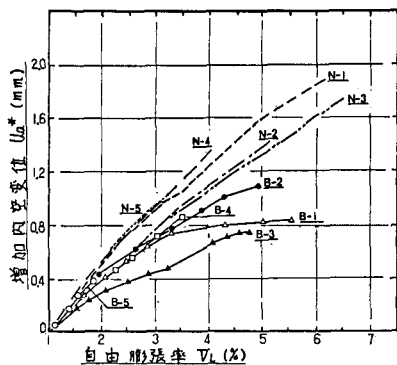


図-3 $\gamma_L \sim U_a^*$ の関係

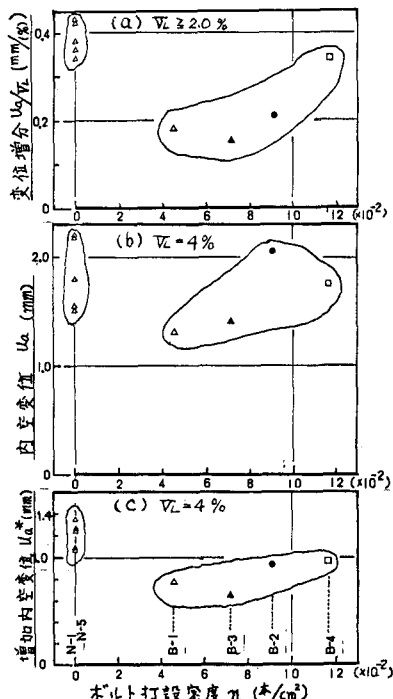


図-4 $n \sim U_a/\gamma_L, U_a, U_a^*$ の関係

4. まとめ

本実験によるボルトの支保効果として次のことが確認された。

- (1) ボルト有りの場合、変形は緩かに進行する。(変形抑止効果)
 ボルトなしの場合、変形は直線的に進行する。
 (2) ボルト有りの場合での打設密度の差による変形の抑止効果については明確にされなかったが、打設密度が大きいとボルトの引抜き抵抗が増大し、地山保護効果に影響を与える。

最後に本実験を実施するにあたり協力していただいた日本大学学生小林久秀君に感謝の意を表します。

参考文献の大久保井田・K内「膨張孔埋め用ボルト打設実験」土木学会第35回年次学術講演会